

## مقاله علمی-پژوهشی

# تخمین تبخیر-تعرق واقعی بر اساس آخرین ویرایش اصلاح شده از الگوریتم بیلان انرژی روی سطح با استفاده از داده های لایسیمتر

محدثه السادات فخار<sup>۱</sup>، عباس کاویانی<sup>۲\*</sup>

تاریخ دریافت: ۱۴۰۰/۰۷/۳۰ تاریخ پذیرش: ۱۴۰۰/۰۹/۰۷

## چکیده

در روش های متدائل برآورد تبخیر-تعرق از اندازه گیری های نقطه ای استفاده می شود اما در تکنیک سنجش از دور، مانند الگوریتم بیلان انرژی روی سطح مقدار شار تبخیر-تعرق لحظه ای در زمان گذر ماهواره به عنوان باقی مانده معادله بیلان انرژی برای هر پیکسل محاسبه می شود. در این مطالعه دو مدل رایج تبخیر-تعرق تک منبعی برآورد شده از SEBAL و PYSEBAL با نتایج یک لایسیمتر زهکش دار کشت شده با چمن در محدوده دشت قزوین مورد مقایسه قرار گرفتند. داده های ماهواره ای بر اساس اطلاعات سه سنجنده MODIS و LANDSAT-5-TM و LANDSAT-7-ETM+ در طی سال های ۱۳۷۹ تا ۱۳۸۲ بود. نتایج حاصل از این پژوهش نشان داد که الگوریتم PYSEBAL در هر سه سنجنده به ترتیب با مقدار RMSE (۰/۴۵، ۰/۴۶ و ۰/۲۰ میلی متر بر روز) عملکرد بهتری را نسبت به مدل SEBAL داشته است. همچنین بررسی های صورت گرفته از سه سنجنده موردنیازی نشان داد که سنجنده MODIS با مقدار خطای استاندارد (۱۵/۰ میلی متر بر روز) و ضریب همبستگی (۰/۹۸) در مقایسه با دو سنجنده ETM+ و TM با مقدار ضریب همبستگی به ترتیب (۰/۹۷ و ۰/۹۳)، خطای استاندارد (۰/۱۷ و ۰/۰۵)، ضریب همبستگی (۰/۲۶ و ۰/۰۵) و همچنین قدرت تفکیک مکانی بالاتر توانسته است نتایج بهتری را ایجاد کند.

## واژه های کلیدی:

دشت قزوین، PYSEBAL، MODIS، LANDSAT-5، LANDSAT-7

## مقدمه

تابش خورشید، درجه حرارت، سرعت باد، میزان رطوبت نسبی هوا، بافت خاک نوع گیاه و مقدار رطوبت خاک از جمله عوامل مؤثر بر تبخیر-تعرق هستند و با توجه به این موضوع، محاسبه مقدار دقیق تبخیر-تعرق، کاری بسیار مشکل است (Chang et al., 2019). استفاده از روش های سنجش از دور و تصاویر ماهواره ای یکی از روش های جدید در تعیین نیاز آبی گیاهان است (Zhang et al., 2016). این روش نیاز آبی محصولات و مقدار تبخیر-تعرق واقعی گیاه در یک سطح وسیع را با استفاده از پارامترهایی نظیر دمای سطحی، ضریب آبیدو و شاخص پوشش گیاهی تعیین کرده که به لحاظ اقتصادی نیز روشی کاملاً مقرر یافته است (Carlson et al., 1995).

با استفاده از بیلان انرژی و فناوری سنجش از دور می توان تغییرات مکانی نرخ تبخیر-تعرق را در مقیاس مکانی و زمانی مختلف، بدون نیاز به داشتن دیگر فرآیندهای پیچیده هیدرولوژیکی، موردنیاز قرارداد. در این راستا الگوریتم های مختلفی همچون<sup>۳</sup> SEBS،

وجود اطلاعات دقیق از مؤلفه های مختلف بیلان آب می تواند کمک بسزایی برای مدیریت و برنامه ریزی دقیق تر منابع آب در اختیار مدیران قرار دهد (Nyolei et al., 2019). تبخیر-تعرق یکی از اجزای معادله بیلان آب و بیلان انرژی سطح زمین است و اطلاعات پایه ای موردنیاز در تحقیقات علوم کشاورزی، منابع آب و تغییر اقلیم را در اختیار می گذارد (Guo et al., 2020).

عوامل بسیار زیادی در تبخیر-تعرق دخالت دارند که برآورد میزان تبخیر-تعرق را در فرآیندی بسیار پیچیده قرار می دهد. شدت و مدت

- دانش آموخته کارشناسی ارشد گروه علوم و مهندسی آب، دانشکده کشاورزی و منابع طبیعی، دانشگاه بین المللی امام خمینی(ره)، قزوین، ایران
- دانشیار گروه علوم و مهندسی آب، دانشکده کشاورزی و منابع طبیعی، دانشگاه بین المللی امام خمینی(ره)، قزوین، ایران

(Email: Kaviani@eng.ikiu.ac.ir) - نویسنده مسئول:  
DOI: 20.1001.1.20087942.1401.16.1.15.2

Santos et al., 2020). الگوریتم SEBAL علی‌رغم موفقیت بالای که محاسبه تبخیر-تعرق داشته است ممکنی به فردی متخصص برای انتخاب پیکسل سرد و گرم بوده و قابل استفاده برای کاربرانی کم تجربه نخواهد بود. PYSEBAL نسخه‌ای از الگوریتم SEBAL است که در محیط پایتون توسعه یافته است (Hessels et al., 2017). از جمله ویژگی‌های این مدل انتخاب تمام‌خودکار پیکسل‌های سرد و گرم در میان بسیاری از ویژگی‌های دیگر همچون جداسازی تبخیر از تعرق و برآورد نقشه‌های خروجی از مقدار رطوبت خاک محسوب می‌شود با توجه به دقت بالای این الگوریتم در برآورد تبخیر-تعرق، پژوهش‌های مختلفی در همین راستا در کشورهای مختلف به انجام رسیده است به طوری که در حوضه آبریز Makanya واقع در کشور آفریقا به بررسی الگوریتم PYSEBAL با استفاده از تصاویر درستگاه Sentinel-2 و Landsat-8 پرداخته شد. نتایج PYSEBAL با توجه به اطلاعات محلی در مورد عملکرد محصول، تخصیص آب و شیوه‌های مدیریت کشاورزی در مناطق مختلف کشاورزی و اکولوژیکی در حوضه آبریز مورد ارزیابی قرار گرفت. نتایج حاصل از پژوهش نشان داد عملکرد شبیه‌سازی شده با عملکرد محصول گزارش شده مطابقت دارد (Nyolei et al., 2019). در پژوهشی بر روی منطقه Bekka در لبنان از اطلاعات سال‌های ۱۹۸۴ تا ۲۰۱۷ تصاویر Valley و روش‌های METRIC و PYSEBAL استفاده شده است. برآورد میانگین سالیانه ET در دوره کشت در این سال  $\pm 53$  میلی‌متر بود که این نتیجه به طور مشترک از دو روش METRIC و PYSEBAL به دست آمده است. بیشترین میزان ET برابر با  $652$  میلی‌متر بود که این را با  $64\%$  از سطح آب و خاک در فصل خشک (ماه‌های می و اکتبر) به دست آمده است و در فصل مرطوب بیش از  $70$  درصد بارش در Bekaa Valley است و روش METRIC در این سال  $15$  میلی‌متر بود. برآورد بیشتری را نسبت به PYSEBAL برای زمین‌های غیر کشاورزی در تابستان نشان داد (Jaafar and Ahmad, 2020). در Burkina Faso به وسعت  $1200$  هکتار نشان داد که مقدار تبخیر-تعرق در طول فصل رشد به طور متوسط با مقادیر روزانه‌ی  $(7/7 \text{ تا } 40/9)$  میلی‌متر بر روز توانسته است رضایت‌بخش باشد و استفاده از مدل PYSEBAL در محیط‌های نیمه‌خشک می‌تواند به عنوان پایه‌ای برای توسعه استراتژی‌ها برای بهبود مدیریت آب آبیاری در کشورهایی با اقلیم خشک باشد (Sawadogo, Gundogdu, et al., 2020).

در پژوهشی در آدانه ترکیه به برآورد تبخیر-تعرق واقعی با مدل PYSEBAL و مقایسه آن با تبخیر-تعرق واقعی اندازه‌گیری شده به وسیله لایسیمتر پرداختند. در این پژوهش از پنج تصویر Landsat5-TM استفاده کردند. نتایج نشان داد که رابطه خوبی بین تبخیر-تعرق برآورد شده و مقدار اندازه‌گیری شده توسط لایسیمتر مشاهده شده است. به طوری که ضریب همبستگی  $0/73$  و

$0/73$  و METRIC<sup>۱</sup> و SEBAL<sup>۲</sup> توسعه داده شده است که هر کدام نرخ تبخیر-تعرق را با دقت‌های مختلفی محاسبه می‌کند. الگوریتم SEBAL یک الگوریتم مبتنی بر روابط تجربی و فیزیکی است که ابتدا در مصر و اسپانیا با استفاده از تصاویر Landsat به منظور برآورد نرخ تبخیر-تعرق واقعی در مناطق کشاورزی، تعیین گرفته شد (Bastiaanssen et al., 1998). مطالعات زیادی نشان‌دهنده کارایی روش SEBAL در برآورد تبخیر-تعرق واقعی در مقیاس منطقه‌ای و حوضه‌های بزرگ است (Almhab and Busu, 2008; Jaafar and Ahmad, 2020). در پژوهشی مقدار تبخیر-تعرق با استفاده از روش SEBAL و تصاویر Landsat در دو منطقه در کشور چین برآورد گردید. دقت تبخیر-تعرق برآورد شده در روش SEBAL برای یک روز در مقیاس  $100$  هکتار  $85$  درصد و برای یک فصل تا  $95$  درصد افزایش یافت. دقت تبخیر-تعرق سالانه برای حوضه‌های بزرگ با استفاده از این روش به طور میانگین  $96$  درصد بود. به طور کلی استفاده از این روش برای برآورد تبخیر-تعرق در مقیاس‌های بزرگ و بلندمدت نتایج بهتری به همراه داشت (Sun et al., 2011). همچنین در مطالعه‌ای به بررسی الگوریتم SEBAL به وسیله تصاویر Landsat7-ETM+ و با استفاده از شاخص‌های آماری به مقایسه آن با داده‌های لایسیمتری مزروعه تحقیقاتی در کشور هند پرداخته شد. نتایج حاصل از این پژوهش نشان داد که الگوریتم SEBAL با مقدار  $RMSE = 0/56$  میلی‌متر بر روز از دقت خوبی برخوردار بوده و بررسی نتایج با استفاده از شاخص‌های آماری نشان داد که می‌توان از الگوریتم SEBAL برای برآورد تبخیر-تعرق در اراضی با وسعت بالا استفاده کرد (Bala et al., 2016). در پژوهشی به بررسی الگوریتم SEBAL با استفاده از تصاویر Landsat8 به منظور بررسی توزیع مکانی و زمانی  $ET_c$  روی دلتای نیل پرداخته شد. که خروجی مدل نشان از این داشت که الگوریتم SEBAL با مقدار  $RMSE = 0/83$  میلی‌متر بر روز و  $R^2 = 0/83$  تخمین قابل قبولی از توزیع زمانی و مکانی  $ET_c$  ارائه می‌دهد (Elnmer et al., 2019). پیشنهاد شده است که محل قرارگیری پیکسل‌های سرد مناطقی با پوشش گیاهی متراکم و پیکسل‌های گرم مناطقی با پوشش گیاهی کم و یا تنک فرض شود (Allen et al., 2002) مدل SEBAL به طور دقیق جریان آب را در فصل مرطوب نشان می‌دهد اما در فصل گرم و خشک‌سال این امکان به راحتی وجود ندارد، یکی از دلایل آن می‌تواند محدوده باریک بین پیکسل‌های سرد و گرم در یک تصویر باشد. زیرا الگوریتم برای پارامترهای ورودی و به ویژه در فصل خشک، به این محدوده باریک ممکن است.

1- Surface Energy Balance Algorithm for Land

2- Mapping Evapotranspiration at high Resolution with Internalized Calibration

متر است که میانگین ارتفاع از سطح دریا برابر با ۱۲۹۰ متر در نظر گرفته می‌شود. از نظر آب و هوایی منطقه موردمطالعه در اقلیم سرد و نیمه‌خشک، قرار می‌گیرد که متوسط بارش سالیانه در منطقه تقریباً ۳۱۰ میلی‌متر است. (هدایتی دزفولی و کاکاوند، ۱۳۹۱) در شکل (۱) موقعیت جغرافیایی محدوده مطالعاتی ارائه شده است. دشت قزوین یکی از مهم‌ترین دشت‌های کشاورزی در کشور محسوب می‌شود به همین دلیل برای هدف این پژوهش انتخاب شده است.

### داده‌های هواشناسی و مشخصات لایسیمتر

انجام مطالعات مبتنی بر سنجش از دور مستلزم استفاده از داده‌های ایستگاه‌های هواشناسی است. در این مطالعه از داده‌های ثبت شده توسط ایستگاه سینوپتیک قزوین در سال‌های ۱۳۷۹ تا ۱۳۸۲ استفاده شده است که این داده‌ها عبارت‌اند از دمای هوا (برحسب سانتی‌گراد) به صورت دمای کمینه و بیشینه و دمای متوسط روزانه، سرعت باد در ارتفاع ده متری (برحسب متر بر ثانیه) که در محاسبات به ارتفاع ۲ متری تبدیل می‌گردد و رطوبت نسبی (برحسب درصد). نقشه کاربری اراضی به منظور مشخص کردن مناطق زراعی برای انتخاب خودکار پیکسل سرد و گرم توسط الگوریتم PYSEBAL لازم است. لایسیمتر یکی از معیّن‌ترین روش‌های اندازه‌گیری مستقیم تبخیر-تعرق است. داده‌های مربوط به تبخیر-تعرق توسط لایسیمتر زهکش دار در منطقه واقع در ایستگاه تحقیقاتی آب‌وچاک اسماعیل آباد قزوین با ابعاد  $1 \times 2$  و به عمق  $1/5$  m مساحتی برابر با  $2 \text{ m}^2$  را می‌پوشاند. لایسیمتر در وسط قطعه زمینی به ابعاد  $\times 50 \text{ m}$  به جنوب و غرب به شرق حدود  $50 \text{ m}$  است. داده‌برداری از لایسیمتر براساس تبخیر-تعرق گیاه مرجع چمن در طی سال‌های ۱۳۷۹ تا ۱۳۸۲ است و به صورت روزانه و هفتگی اجرا شده است. (ابراهیمی پاک، ۱۳۷۹).

### داده‌های ماهواره‌ای

در این مطالعه از تصاویر سه سنجنده MODIS Landsat-TM و Landsat-7-ETM+ استفاده شد که جزئیات آن در جدول (۱) نشان داده شده است.

در این پژوهش اندازه‌گیری تبخیر-تعرق در شش ماه نخست سال‌های موردمطالعه صورت گرفت که دلیل نوسانات موجود در تبخیر-تعرق برآورد شده، مقادیر متفاوت آن در طی سال‌های مختلف است. با توجه به تفکیک زمانی پایین سنجنده LANDSAT-TM و LANDSAT-ETM+ و همچنین وجود ابر و برف بر روی تصاویر در برخی از ماه‌های سال، در این پژوهش از ۱۵ تصویر TM، ۲۲ تصویر ETM+ و ۲۴ تصویر MODIS بدون ابر و برف استفاده شده است که به‌طور معمول یک تا دو تصویر برای هرماه از سال‌های

RMSE=۰/۵۱ میلی‌متر بر روز شد. درنتیجه تبخیر-تعرق واقعی محصول سویا را می‌توان با دقت بالا در آنادا ترکیه تخمین زد (Awadogo, Hessels, et al., 2020) در لبنان نیز با توجه به تغییرات آب و هوایی به بررسی تبخیر-تعرق فصلی در فصل‌های بهار و تابستان با استفاده از الگوریتم PYSEBAL و مقایسه مقادیر محاسبه شده با استفاده از روش FAO-56 پرداختند که مقدار RMSE در فصل بهار و تابستان به ترتیب برابر با  $0/38$  و  $0/93$  میلی‌متر در روز شد. همچنین مقدار MAE برآورد شده بین الگوریتم و روش FAO-56 به ترتیب  $0/33$  و  $0/64$  میلی‌متر در روز برآورد شد (Caiserman & Faour, 2021).

به منظور گسترش و توسعه سیستم‌های نوین آبیاری و مصرف بهینه آب و کاهش هزینه‌های بخش کشاورزی جهت دستیابی به کشاورزی پایدار در سطح ملی و منطقه‌ای با نگاه کلان و حوضه‌ای، ناگریز استفاده از روش‌ها و تکنیک‌های جدید و به روز همچون سنجش از دور و هوش مصنوعی در مدیریت آب مصرفی گیاهان و تأمین نیاز آبی امری ضروری محسوب می‌شود تا به واسطه آن مقادیر تبخیر-تعرق واقعی گیاهان به صورت پیوسته تحت پایش قرار گیرد.

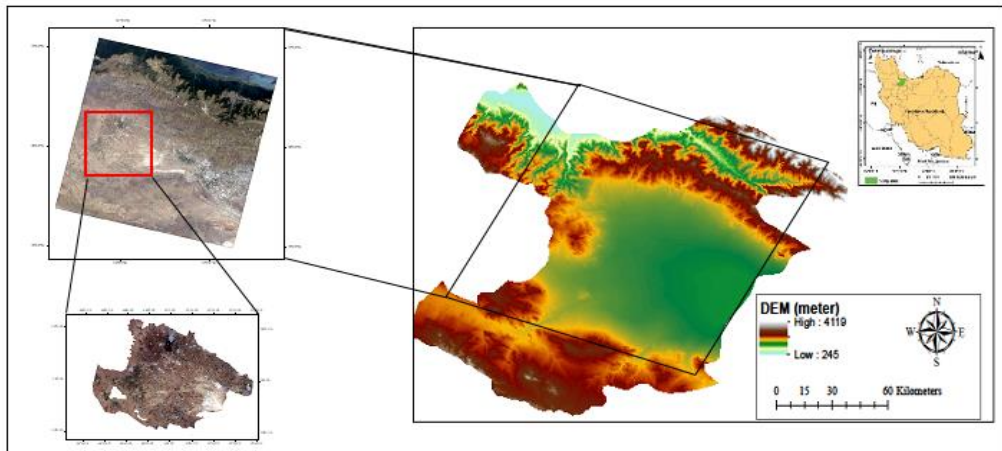
انتخاب صحیح و مناسب پیکسل‌های سرد و گرم در محاسبه مقدار تبخیر-تعرق تأثیر بسزایی در سنجش اعتبار هر الگوریتم داشته است. با توجه به تفاوت در داده‌های ورودی و روش‌های متفاوت محاسبه تبخیر-تعرق با استفاده از الگوریتم‌های مختلف، استفاده از برخی از این الگوریتم‌ها نیازمند صرف زمان بیشتر و دقت بالاتر در برآورد مقدار تبخیر-تعرق و انتخاب پیکسل‌های سرد و گرم است لذا هدف از این پژوهش ارزیابی الگوریتم PYSEBAL بر اساس کالیبراسیون تمام‌خودکار در روند انجام محاسبات مربوط به تابش خالص سطح زمین، شار گرمایی خاک و شار حرارت محسوس به‌ویژه انتخاب پیکسل‌های سرد و گرم بر اساس هوش مصنوعی و مقایسه آن با الگوریتم SEBAL است که با استفاده از تصاویر MODIS در طول سال‌های ۱۳۷۹ تا ۱۳۸۲ به منظور ارزیابی دقت هر یک از الگوریتم‌ها با داده‌های لایسیمتری منطقه انجام شده است.

### منطقه مطالعه و داده‌های تحقیق

منطقه موردمطالعه دشت قزوین با عرض جغرافیایی  $35^{\circ}43'6.8''\text{N}$  تا  $36^{\circ}23'46.8''\text{N}$  و طول جغرافیایی  $49^{\circ}25'10.0''\text{E}$  تا  $50^{\circ}38'11.4''\text{E}$  در دامنه جنوبی رشته‌کوه‌های البرز واقع شده است. این دشت با مساحت  $5.06218$  هکتار محدوده‌ی مرکزی و شرق استان را تشکیل می‌دهد که شیب آن از شمال غرب به جنوب شرق امتداد دارد. مطابق با نقشه DEM (STRM) پایین-ترین و بالاترین نقاط ارتفاعی استان به ترتیب برابر با  $4119$  و  $245$  m.

امروی مشکل خواهد بود به همین منظور (Allen et al., 2007) پیشنهاد کردند در زمان خارج از فصل رشد و یا در صورت استفاده از سنجندهایی همچون MODIS به جای استفاده از ضریب  $1/0.5$  برای برآورد تبخیر-تعرق واقعی، می‌توان نسبت تبخیر-تعرق پیکسل سرد به تبخیر-تعرق مرجع را تابعی از شاخص NDVI در نظر گرفت.

۱۳۷۹ تا ۱۳۸۲ انتخاب شده است که تاریخ های موردنرسی از سنجنده های موردانستفاده در جدول (۲) نمایش داده شده است. به منظور برآورد تبخیر-ترقی واقعی در این پژوهش از سه نوع سنجنده MODIS، LANDSAT-ETM+ و LANDSAT-TM استفاده شد. به دلیل آن که قدرت تفکیک مکانی سنجنده MODIS بر این با (Km) ۱ است پیدا کردن چنین پیکسل سردی در اکثر مناطق



### شکل ۱- موقعیت جغرافیایی دشت قزوین در استان قزوین

جدول ۱- داده های سنجنده های ورودی به همراه مشخصات هر یک از آن ها به منظور اجرای الگوریتم

تصاویر استفاده شده	نام سنجنده	قدرت تفکیک زمانی (متر)	قدرت تفکیک مکانی (متر)
نقشه رقومی ارتفاعی(DEM)	SRTM	۳۰	-
بازتاب سطحی(Albedo)	MOD09GA	۵۰۰	روزانه
دماي سطح زمين(LST)	MOD11A1	۱۰۰۰	روزانه
شاخص پوشش گياهي(NDVI)	MOD13Q1	۲۵۰	۱۶ روز
باندهای ۱ الی ۵	LANDSAT-TM	۳۰	۱۵ روز
باندهای ۱ الی ۷	LANDSAT-ETM	۳۰	۱۵ روز

$$\lambda ET = R_n - G - H \quad (1)$$

در این معادله  $\lambda ET$  شار گرمای نهان تبخیر ( $W/m^2$ ),  $Rn$  میزان تابش خالص خورشیدی ( $W/m^2$ ),  $G$  شار گرمای خاک ( $W/m^2$ ) و شار گرمای محسوس ( $W/m^2$ ) است. انتخاب پیکسل های سرد و گرم، شامل تعیین یک معیار از پیش تعیین شده است. معیارهای از پیش تعیین شده شامل دمای سطح ( $T_s$ ), شاخص پوشش گیاهی ( $NDVI$ ), طول زبری برای انتقال مومنتوم ( $Z_{om}$ ) و آلبیدو سطح ( $\alpha$ ) است. مقدار  $Rn$  با کسر تمام جریان های تابشی خروجی از همهی شارهای تابشی

روش تحقیق

الگو، تئ PYSEBAL

PYSEBAL در محیط پایتون توسعه پیدا کرده است که الگوریتم SEBAL را با پردازش نیمه خودکار تصاویر ماهواره‌ای اجرا می‌کند. PYSEBAL انتقال انرژی از تابش خورشید به انتقال آب به اتمسفر را تخمین می‌زند. این مدل پیکسل‌های سرد و گرم را به صورت خودکار محاسبه کرده و از جمله ویژگی‌های این مدل می‌توان به جداسازی تبخیر از تعرق، تخمین بیومس و رطوبت خاک نیز اشاره کرد. اساس این مدل استفاده از معادله بیلان انرژی و محاسبه مقدار شار گرمای نهان تبخیر به عنوان باقی‌مانده این معادله برای هر پیکسل است.

جدول ۲- لیست تصاویر بدون ابر و برف موردبررسی در هر سنجنده

MOD (13Q1,11A1,09GA)	Landsat-7-ETM+	Landsat-5-TM
۱۳۷۹/۰۱/۰۲	۱۳۷۹/۰۱/۰۷	۱۳۷۹/۰۲/۱۶
۱۳۷۹/۰۲/۱۹	۱۳۷۹/۰۲/۰۴	۱۳۷۹/۰۳/۱۰
۱۳۷۹/۰۳/۲۰	۱۳۷۹/۰۳/۰۵	۱۳۷۹/۰۴/۰۲
۱۳۷۹/۰۴/۲۱	۱۳۷۹/۰۴/۲۲	۱۳۷۹/۰۴/۲۷
۱۳۷۹/۰۵/۲۲	۱۳۷۹/۰۵/۲۳	۱۳۷۹/۰۵/۱۹
۱۳۷۹/۰۶/۰۷	۱۳۷۹/۰۶/۰۸	۱۳۷۹/۰۵/۲۸
۱۳۸۰/۰۱/۱۷	۱۳۸۰/۰۱/۱۰	۱۳۷۹/۰۶/۱۳
۱۳۸۰/۰۲/۱۹	۱۳۸۰/۰۲/۰۳	۱۳۸۰/۰۲/۱۸
۱۳۸۰/۰۳/۲۰	۱۳۸۰/۰۲/۱۹	۱۳۸۰/۰۳/۱۲
۱۳۸۰/۰۴/۲۱	۱۳۸۰/۰۳/۱۱	۱۳۸۰/۰۴/۱۳
۱۳۸۰/۰۵/۲۲	۱۳۸۰/۰۴/۰۵	۱۳۸۰/۰۵/۰۵
۱۳۸۰/۰۶/۲۳	۱۳۸۰/۰۵/۲۲	۱۳۸۰/۰۶/۲۲
۱۳۸۱/۰۱/۱۸	۱۳۸۱/۰۱/۰۵	۱۳۸۱/۰۲/۳۰
۱۳۸۱/۰۲/۰۳	۱۳۸۱/۰۳/۰۷	۱۳۸۱/۰۳/۱۵
۱۳۸۱/۰۳/۲۰	۱۳۸۱/۰۵/۰۹	۱۳۸۱/۰۵/۰۱
۱۳۸۱/۰۴/۲۱	۱۳۸۱/۰۶/۲۶	
۱۳۸۱/۰۵/۲۲	۱۳۸۲/۰۱/۰۸	
۱۳۸۱/۰۶/۲۳	۱۳۸۹/۰۲/۰۹	
۱۳۸۲/۰۱/۱۹	۱۳۸۲/۰۲/۲۵	
۱۳۸۲/۰۳/۲۰	۱۳۸۲/۰۴/۲۷	
۱۳۸۲/۰۴/۰۵	۱۳۸۲/۰۵/۰۳	
۱۳۸۲/۰۴/۲۱	۱۳۸۲/۰۷/۰۵	
۱۳۸۲/۰۵/۲۲		
۱۳۸۲/۰۶/۰۷		
۱۳۸۲/۰۶/۲۳		

که در آن  $\rho$  چگالی هوا ( $\text{Kg/m}^3$ ),  $C_p$  گرمای ویژه در فشار معین  $r_{ah}$  [ $1004 \text{ J kg}^{-1} \text{ K}^{-1}$ ] مقاومت آئرودینامیکی در برابر انتقال حرارت بین  $z_1$  و  $z_2$  ( $\text{m/s}$ ) است. پارامتر  $dT$  اختلاف دما بین دو ارتفاع نزدیک به سطح است ( $z_2 = 2 \text{ m}$  و  $z_1 = 0.1 \text{ m}$ ). بالای لایه کنوبی ( $\text{K}$ ), که به عنوان یکتابع خطی از دمای سطحی اصلاح شده است،  $T_s$  (Datum)، تخمین زده می شود (معادله ۵). ضرایب (a) و (b) در معادله (۵) برای پیکسل های سرد و گرم به صورت تکراری تعیین می شود. بنابراین برای هر تصویر ماهواره ای یا منطقه خاص مقداری متفاوت است.

$$dT = a + b \times T_{s,datum} \quad (5)$$

$$a = \frac{dT_{hot} - dT_{cold}}{T_{s,datum,hot} - dT_{s,datum,cold}} \quad (6)$$

$$b = \frac{dT_{hot} - a}{T_{s,datum,hot}} \quad (7)$$

از جمله تفاوت هایی که روش PYSEBAL و SEBAL دارای باشند در انتخاب پیکسل سرد و گرم است که این مورد در

$$R_n = (1-\alpha)R_{s\downarrow} + (W/m^2) \cdot \varepsilon_0 R_{L\downarrow} - \varepsilon_0 \sigma T_s^4 \quad (2)$$

که در این معادله  $R_S$  طول موج کوتاه ورودی ( $\text{W/m}^2$ )

طول موج بلند ورودی ( $\text{W/m}^2$ ),  $\varepsilon_0$  انتشار سطحی،  $\sigma$  ثابت استفان بولتزمن ( $5.67 \times 10^{-8} \text{ W/m}^2/\text{K}^4$ ) و  $T_s$  دمای سطح زمین (برحسب کلوین) است.  $G$  به عنوان کسری از  $Rn$  محاسبه می شود و PYSEBAL از معادله تجربی  $G$  توسعه داده شده توسط باستیانسن استفاده می کند (Bastiaanssen, 1995).

$$G = T_{s,datum} (0.0038 + 0.007\alpha) (1 - 0.98NDVI^4) \times Rn \quad (3)$$

demای تصحیح شده از سطح زمین است و بر اساس  $T_{s,datum}$  منطقه موردنظر و با درنظر گرفتن شیب به دست می آید. یک کالیبراسیون داخلی  $H$  در PYSEBAL اعمال می شود بنابراین نیازی به تصحیح اتمسفری  $T_s$  نخواهد بود.  $H$  در مدل PYSEBAL با استفاده از مقاومت آئرودینامیکی مطابق معادله (۴) محاسبه می شود.

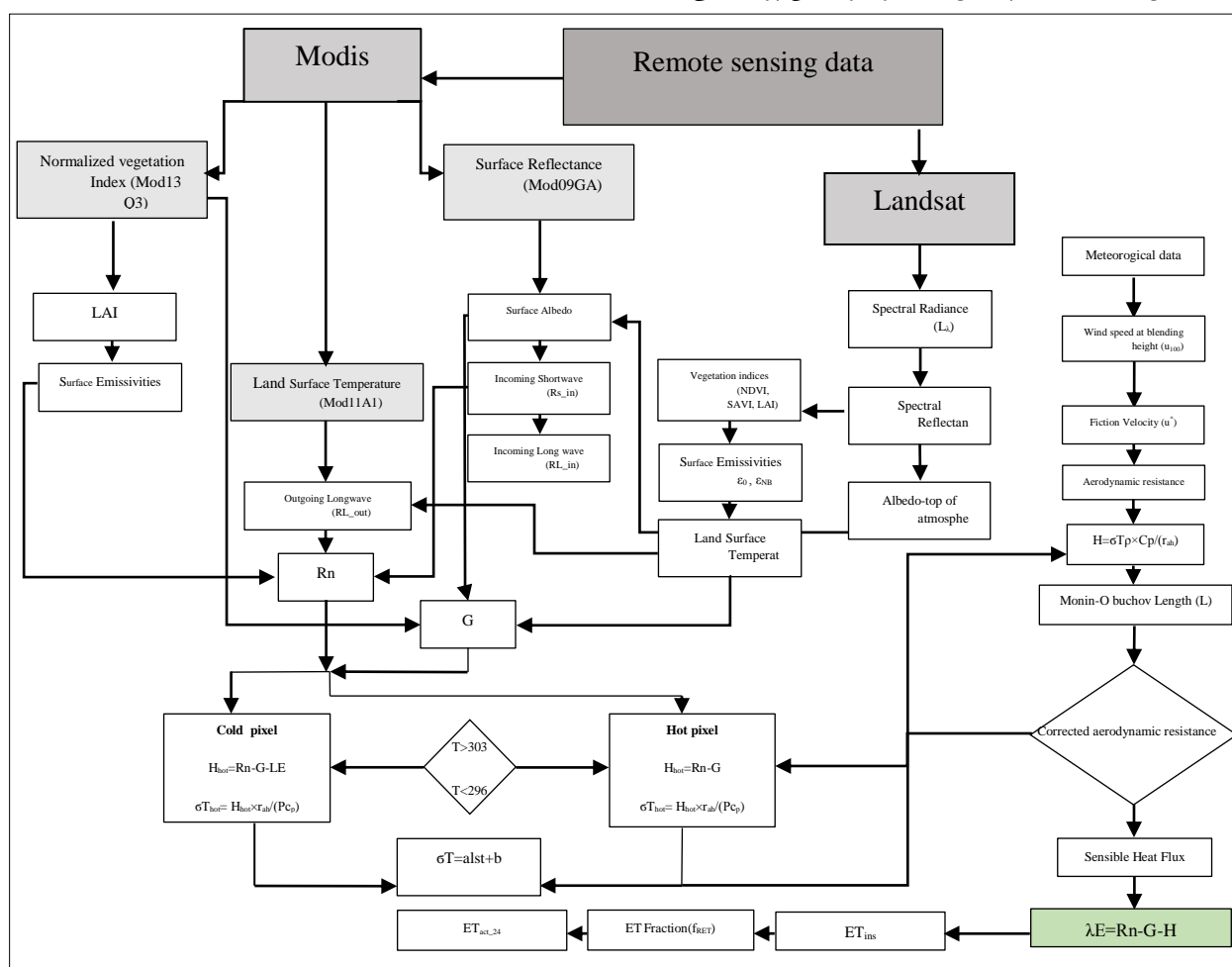
$$H = \frac{\rho \times C_p \times dT}{r_{ah}} \quad (4)$$

پیکسل‌های دمای سطح که با استفاده از نقشه طبقات ارتفاعی STRM 30 m اصلاح شده‌اند و همچنین پیکسل‌هایی که دارای حداقل مقدار NDVI هستند، به دست می‌آید. در حالی که پیکسل‌های گرم بر اساس پراکندگی NDVI انتخاب می‌شوند. در جدول (۳) خصوصیاتی از پیکسل‌هایی که به عنوان سرد و گرم انتخاب می‌شوند، اشاره شده است همچنین مراحل کلی PYSEBAL در شکل (۲) نمایش داده شده است.

### شاخص‌های آماری

با هدف مقایسه نتایج حاصل از الگوریتم PYSEBAL و SEBAL با مقادیر مشاهداتی از لایسیمتر در منطقه موردمطالعه از آماره‌هایی متداول همچون میانگین خطای مطلق (MAE)، میانگین جذر مربعات خطا (RMSE)، خطای استاندارد (SE)، خطای اریب میانگین (MBE) و ضریب همبستگی استفاده شده است.

الگوریتم PYSEBAL به صورت خودکار انجام می‌شود. همچنین لازم به ذکر است این انتخاب خودکار در الگوریتم PYSEBAL در صورت نداشتن شناخت کافی نسبت به منطقه، به سبب تراکم و ناهمگنی پوشش کاربری اراضی در دشت و همچنین تغییر در دمای متوسط برای مجموعه پیکسل‌های حدی، می‌تواند سبب ایجاد خطای قابل توجه در برآورد تغییر-تعرق گردد. مهم‌ترین عوامل بھبودیافته در مدل PYSEBAL شامل، بھبود در انتخاب خودکار پیکسل‌های سرد و گرم، امکان اعمال محدوده خاص در مجاورت ایستگاه هواشناسی به منظور انتخاب پیکسل‌های حدی، امکان انتخاب پیکسل‌های سرد بر روی پهنه‌های آبی و یا مزارعی که به خوبی آبیاری شده و هیچ‌گونه تنشی بر آن‌ها وارد نشده است، امکان انتخاب پیکسل گرم بر روی مناطق باир و یا مناطق با پوشش گیاهی فقیر و درنهایت امکان تغییر آستانه‌های شاخص‌های پوشش گیاهی برای انتخاب پیکسل‌های حدی است. تمامی موارد مطرح شده از جمله تفاوت‌هایی است که مدل PYSEBAL نسبت به مدل SEBAL دارا می‌باشد. در مدل PYSEBAL پیکسل‌های سرد بر اساس پراکندگی



شکل ۲- فلوچارت مدل PYSEBAL با استفاده از تصاویر MODIS و Landsat

جدول ۳- شرایط انتخاب پیکسل سرد و گرم در مدل PYSEBAL

پیکسل های سرد		پیکسل های گرم	
شاخص	مقدار	شاخص	مقدار
$T_s$ (K)	۲۹۶-۲۷۸	$T_s$ (K)	۳۰۳-۳۲۰
NDVI	۰/۶۵-۰/۹	NDVI	۰-۰/۴
albedo	۰/۱-۰/۳	albedo	۰/۰۱-۰/۲
تغییرات ارتفاعی (m)	۲۱۷۷-۱۱۳۳	تغییرات ارتفاعی (m)	۲۱۷۷-۱۱۳۳

سه سنجنده MODIS، TM و ETM+ (۰/۴۶، ۰/۰۲ و ۰/۴۵) متر بر روز) به عنوان الگوریتم برتر در منطقه معرفی شده است. طبق بررسی های انجام شده سنجنده سنجنده MODIS و ETM+ در هر دو الگوریتم همبستگی بالایی با مقادیر لایسیمتری دارد. مقایسه نتایج حاصل از الگوریتم SEBAL با داده های لایسیمتری نشان داد که این الگوریتم عملکرد ضعیفترا را نسبت به PYSEBAL دارا بوده است که این مورد در سنجنده TM مشهودتر است.

نتایج نشان داد که هرچه به ماه های گرم سال نزدیک می شویم، با افزایش دما مقدار تبخیر-تعرق افزایش می یابد به طوری که نتایج حاصل از سنجنده LANDSAT-TM نشان داد در ماه های گرم سال این سنجنده برآورد بهتری را نسبت به سایر ماه ها خواهد داشت. نتایج LANDSAT-TM نشان می دهد شاخص های آماری در جدول (۴) نشان می دهد در مدل های SEBAL و PYSEBAL با مقدار RMSE به ترتیب (۰/۵۳ و ۰/۰۳ میلی متر بر روز) و مقدار ضریب همبستگی (۰/۰۲ و ۰/۰۳ میلی متر بر روز) ضریب ترین نتایج را از خود نشان داد. سنجنده ETM+ برآورد بهتری را نسبت به سنجنده TM داشته است به طوری که مقدار شاخص خطای استاندارد در سنجنده ETM+ مقداری کمتر از یک را دارا بوده است. در حالی که در سنجنده TM در هر دو مدل موربررسی با مقداری برابر با ۰/۲۶ و ۰/۴۶ میلی متر بر روز برخوردار است. به طور کلی شاخص خطای استاندارد در دو مدل از سنجنده های ETM+ و MODIS مقداری کمتر از یک برآورد شده است که نشان دهنده نزدیک بودن و پراکندگی کم داده های برآورد شده نسبت به اندازه گیری های صورت گرفته از لایسیمتر است. همان طور که در شکل (۳) نیز قابل ملاحظه است سنجنده MODIS بهترین برآورد را نسبت به دو سنجنده دیگر در منطقه داشته است، به طوری که مقدار ضریب همبستگی در این سنجنده در هر دو مدل PYSEBAL و SEBAL به ترتیب مقداری برابر با (۰/۰۸ و ۰/۹۴) همراه بوده است. طبق بررسی های انجام شده به استثنای الگوریتم SEBAL در سنجنده TM، پارامتر MBE در مابقی الگوریتم ها مقداری منفی را داشته است که نشان از کم برآورد بودن الگوریتم محاسبه شده را دارد.

ضریب همبستگی شدت رابطه و همچنین نوع رابطه را نشان می دهد که مقداری بین عدد (۱) و (-۱) است. میانگین خطای مطلق نشان دهنده صحت مدل است و مقدار صفر آن نشان دهنده صحت ۱۰۰ درصد است به طوری که هر قدر مقدار آن از صفر فاصله داشته باشد، حاکی از کم شدن صحت مدل است.

معیار ارزیابی MBE نیز میانگین انحراف است. این معیار علاوه بر دارا بودن علامت مثبت (بیش برآورده مدل) و یا منفی (کم برآورده مدل)، مقدار انحراف از مقادیر مشاهده شده را نیز نشان می دهد. MBE برابر با صفر نشان می دهد که برآورده مدل مناسب بوده و در آن هیچ گونه انحرافی وجود ندارد. هر چه میانگین جذر مربعات خطای برآورده میزاند. به طوری که هر چه مقدار آن کمتر باشد، نشان دهنده صحت می باشد. به طوری که هر چه مقدار آن کمتر باشد، نشان دهنده صحت برآورده صورت گرفته است.

$$RMSE = \left[ \frac{\sum_{i=1}^n (ET_{mod} - ET_L)^2}{n} \right]^{\frac{1}{2}} \quad (8)$$

$$MAE = \frac{\sum_{i=1}^n |ET_{mod} - ET_L|}{n} \quad (9)$$

$$MBE = \frac{\sum_{i=1}^n (ET_{mod} - ET_L)}{n} \quad (10)$$

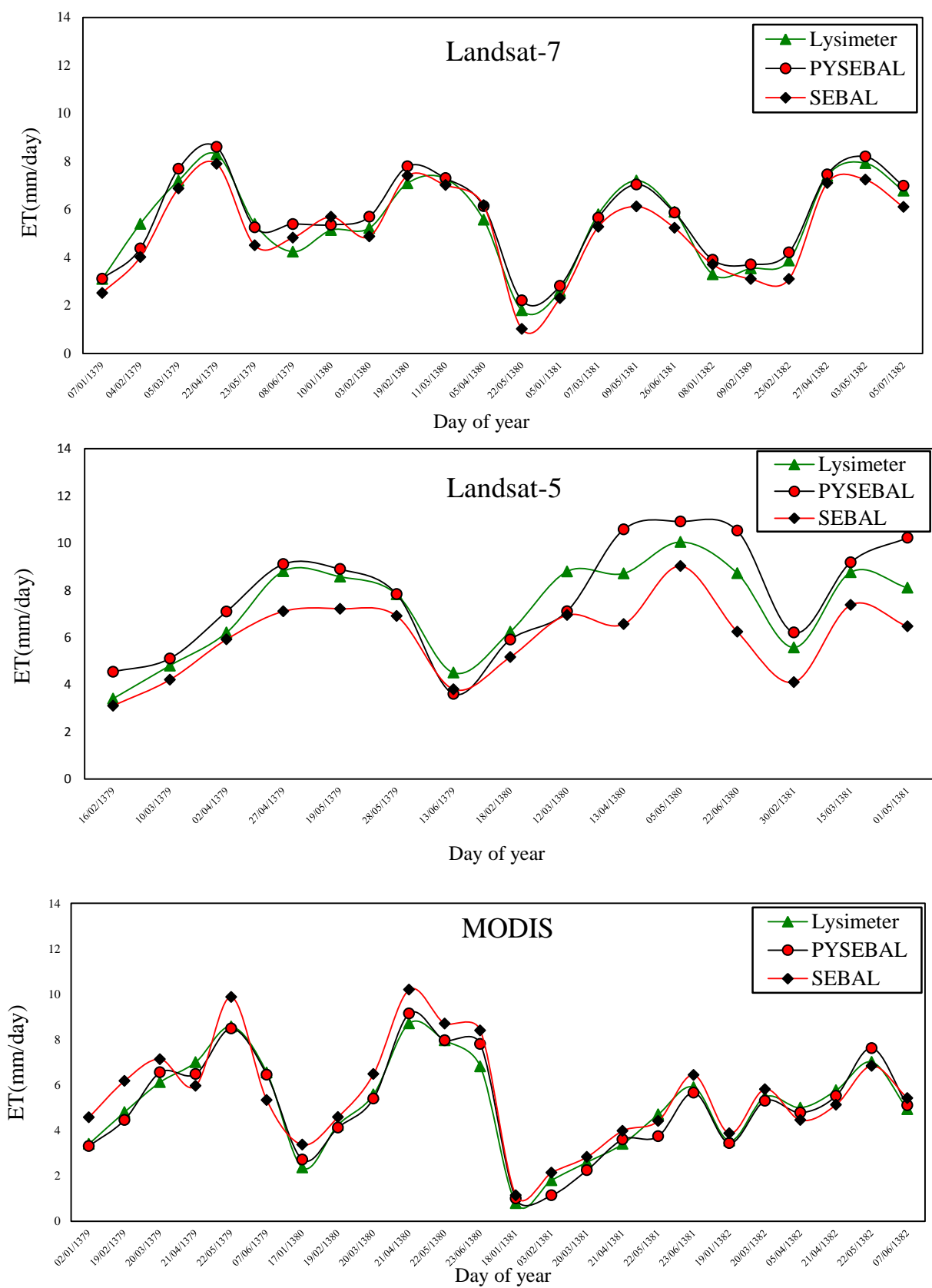
$$SE = \left( \frac{\sum_{i=1}^{n-1} (ET_{mod} - ET_L)^2}{n-1} \right)^{\frac{1}{2}} \quad (11)$$

$$r = \frac{|\sum (ET_L - \bar{ET}_L)(ET_{mod} - \bar{ET}_{mod})|}{\sqrt{\sum (ET_L - \bar{ET}_L)^2 \sum (ET_{mod} - \bar{ET}_{mod})^2}} \quad (12)$$

## نتایج و بحث

مقادیر برآورده شده و اندازه گیری شده تبخیر-تعرق، در شکل (۳) قابل ملاحظه است. ازانجاكه هدف از مقایسه این مدل های مبتنی بر سنجش از دور، تخمین تبخیر-تعرق واقعی به صورت روزانه برای برنامه ریزی آبیاری است، به همین منظور به اعتبار سنجی و ارزیابی هریک از الگوریتم ها با استفاده از شاخص های آماری مختلف پرداخته شد.

طبق نتایج آماری از بین دو الگوریتم موربررسی، الگوریتم PYSEBAL با کمترین مقدار جذر خطای میانگین مربعات در هر



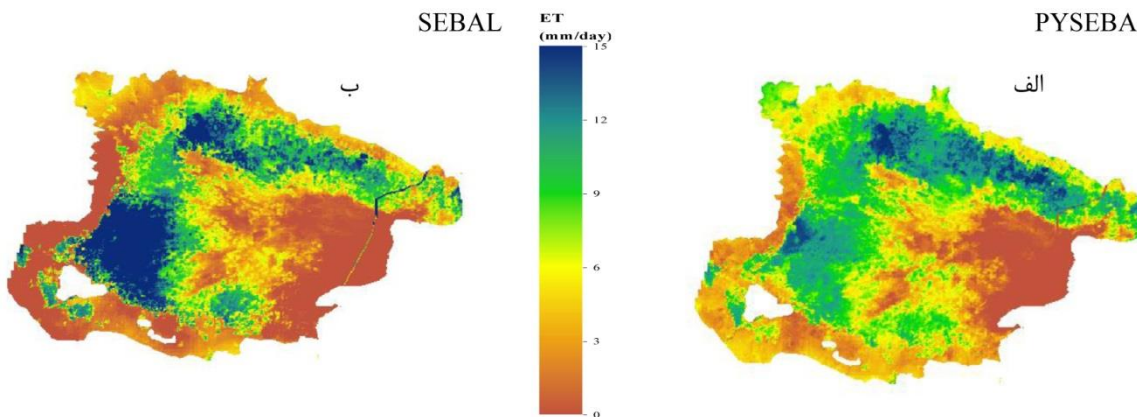
شکل ۳- مقدادیر تبخير-تعرق تخمین زده با استفاده از دو الگوریتم PYSEBAL و SEBAL توسط سه سنجنده در دشت قزوین

جدول ۴- مقایسه نتایج تبخیر-تعرق تخمین زده شده با استفاده از دو الگوریتم SEBAL و PYSEBAL توسط سه سنجنده

		MAE(mm/day)	MBE	RMSE(mm/day)	R(-)	SE(mm/day)
MODIS	PYSEBAL	.۰/۳۶	-۰/۰۲	.۰/۴۵	.۰/۹۸	.۰/۱۵
	SEBAL	.۰/۷۴	-۰/۴۳	.۰/۸۵	.۰/۹۴	.۰/۴۶
Landsat-7	PYSEBAL	.۰/۳۵	-۰/۲۱	.۰/۴۶	.۰/۹۷	.۰/۱۷
	SEBAL	.۰/۵۹	-۰/۳۶	.۰/۶۵	.۰/۹۶	.۰/۲۷
Landsat-5	PYSEBAL	۱/۸۱	-۰/۱۷	۲/۰۲	.۰/۵۳	۲/۲۶
	SEBAL	۲/۰۱	۱/۶۰	۲/۰۳	.۰/۷۳	۱/۴۶

خواهد شد. در شکل (۴) قابل ملاحظه است که در الگوریتم SEBAL با توجه به عدم رعایت محدودیتهای بیشتر و همچنین تأثیر پارامترهای کمتر در انتخاب نوع پیکسل سرد و گرم، در انتخاب مناطقی که مستعد و دارای شرایط انتخاب این گونه پیکسل‌ها هستند، دچار خطای بیشتری شده است که این عامل خود سبب برآورد کمتر مقدار تبخیر-تعرق در منطقه موردمطالعه شده است.

بررسی‌های انجام شده نشان می‌دهد که الگوریتم PYSEBAL نتایج بهتر و دقیق‌تری را نسبت به الگوریتم SEBAL ایجاد کرده است که می‌توان این استدلال را داشت که از جمله دلایلی که این الگوریتم عملکرد بهتری داشته است، به انتخاب دقیق‌تر پیکسل‌های سرد و گرم اشاره کرد. زیرا عدم وجود دقت کافی در انتخاب درست پیکسل‌ها سبب ایجاد خطای در محاسبه مقدار شار حرارت محسوس شده است.

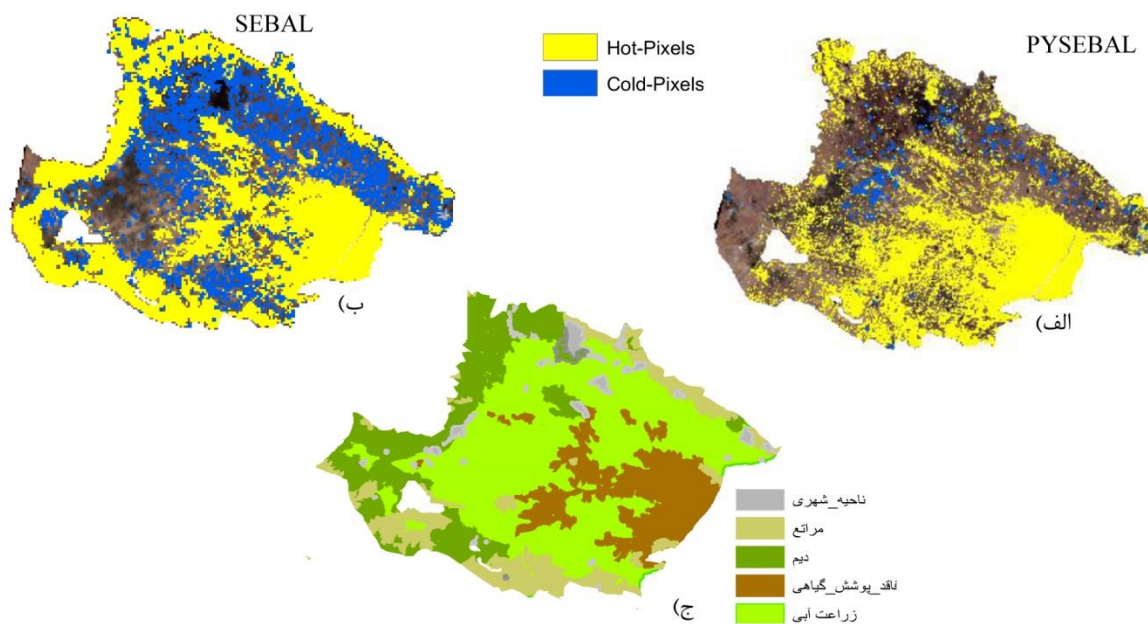


شکل ۴- نقشه تبخیر-تعرق برآورد شده توسط سنجنده PYSEBAL در دو مدل MODIS (الف) و مدل SEBAL (ب)

آنچه حائز اهمیت است که اگر پیکسل گرم روی مناطق با پوشش گیاهی صورت گیرد، ممکن است فرض برقراری رابطه خطی بین اختلاف دمای هوای نزدیک سطح و دمای سطح برقرار نباشد (Allen et al., 2002).

در یک بررسی کلی از سنجنده MODIS که نتایج قابل قبول تری را نسبت به دو سنجنده دیگر نشان می‌دهد با توجه به شکل (۳) می‌توان این گونه استنباط کرد که استفاده از الگوریتم PYSEBAL در ماههای گرم سال نتایج بسیار دقیق‌تری را از خود نشان می‌دهد به طوری که طبق بررسی‌های انجام شده در ماههای تیر و مرداد با کمترین اختلاف نسبت به داده‌های لایسیمتری بوده است که دلیل این موضوع می‌تواند وجود پوشش گیاهی متراکم‌تر در هر کدام از تاریخ‌های مورد بررسی باشد در حالی که مدل SEBAL به این صورت نبوده و تقریباً از یک‌روند ثابتی در برآورد تبخیر-تعرق برخوردار است.

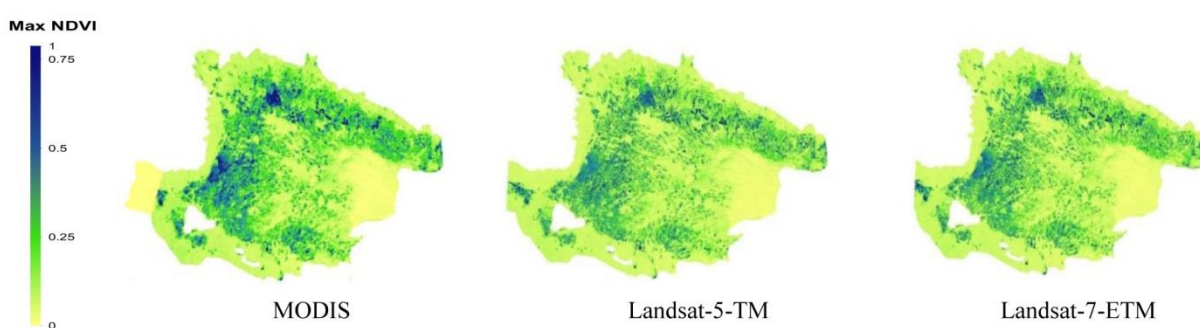
بررسی و مقایسه پیکسل‌های سرد و گرم توسط تصاویر LANDSAT-7 در شکل (۵) نشان می‌دهد که با توجه به نقشه کاربری دشت استان مدل PYSEBAL در انتخاب پیکسل‌های سرد و گرم از دقت بالاتری نسبت به مدل SEBAL برخوردار است زیرا در مدل SEBAL تقریباً تمامی مناطقی که شامل زراعت آبی است را به عنوان پیکسل سرد و یا به بیانی دیگر اراضی با پوشش گیاهی با تراکم بالا در نظر گرفته شده و به عنوان پیکسل سرد انتخاب شده است همین طور در انتخاب پیکسل‌های گرم با توجه به شکل (۵-ب)، تعداد نقاطی که انتخاب شده، بسیار بیشتر از پیکسل‌های گرم انتخابی در مدل PYSEBAL است به طوری که در مدل SEBAL مراتع و اراضی دیم را جزء مناطق مستعد پیکسل گرم انتخاب کرده است. در حالی که انتخاب پیکسل‌های گرم طبق مطالعات انجام شده شامل آن دسته از پیکسل‌هایی می‌شود که زمین غیر زراعی و نواحی خاکی که از درجه حرارت بالا برخوردار هستند را شامل می‌شوند. این مساله از



شکل ۵ - نقشه پیکسل‌های سرد و گرم در دشت قزوین با استفاده دو مدل SEBAL (الف) و PYSEBAL (ب) و مقایسه آن با نقشه کاربری اراضی منطقه (ج).

طبقه‌بندی اراضی مختلف حاصل شود که این همبستگی در اراضی که دارای پوشش گیاهی هستند مانند باغات و اراضی کشاورزی با تراکم محصول بالا بیشتر باشد. شکل (۶) حداقل مقدار روزانه دشت قزوین را در طی یکی از سال‌های بررسی شده نشان می‌دهد. مناطقی با سایه سبز تیره‌رنگ مناطقی هستند که رشد رویشی بالاتری را داشته‌اند. به عنوان مثال مناطقی از دشت که اراضی کشاورزی را شامل می‌شود به وضوح می‌توان تشخیص داد زیرا بالاترین میزان NDVI را دارند همچنین قابل توجه است برشی از مناطق کوهستانی در نواحی شمالی دشت مقادیر NDVI نسبتاً بالاتری را شامل شده که پوشش گیاهی قابل توجهی را برای بخشی از سال نشان می‌دهد.

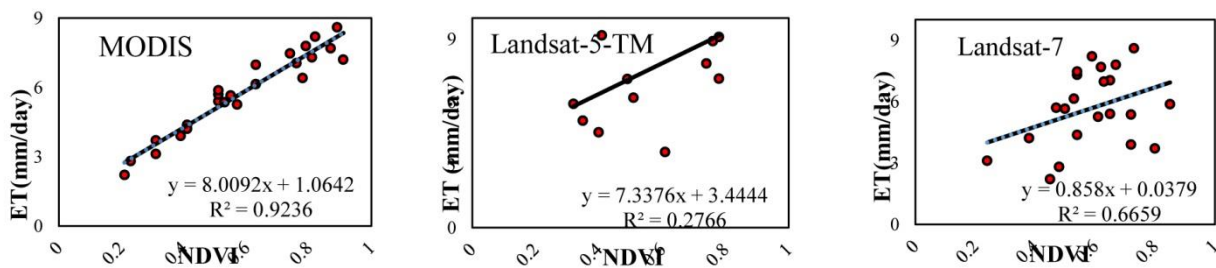
در صورتی که مطالعات برآورد تبخیر-ترعرق برای محاسبه اراضی با وسعت زیاد مدنظر باشد استفاده از سنجنده MODIS در الگوریتم PYSEBAL با توجه به حجم کمتر تصاویر مورداستفاده و مدت زمان کوتاه‌تر به منظور برآورد تبخیر-ترعرق، می‌تواند برآورد کلی و قابل قبول‌تری از الگوی تغییرات مکانی تبخیر-ترعرق نسبت به تصاویر Landsat داشته باشد. برآورد  $ET_a$  مبتنی بر سنجش از دور در بسیاری از مطالعات با ایجاد رابطه تجربی مستقیم میان NDVI و ضریب محصول (KC) به جای حل معادله بیلان انرژی سطحی انجام می‌شود (Glenn et al., 2011; Hunsaker et al., 2003; Kamble et al., 2013). بنابراین بررسی رابطه میان مقادیر  $ET_a$  حاصل از الگوریتم PYSEBAL و مقادیر مستقل NDVI که به صورت مستقیم توسط سنجنده محاسبه می‌شود می‌تواند امکان اعتبارسنجی قوی را ارائه دهد. انتظار می‌رود که میان  $ET_a$  و NDVI یک همبستگی کلی در



شکل ۶- نقشه NDVI حاصل از سه سنجنده در دشت قزوین در مردادماه ۱۳۸۰

رشد پوشش گیاهی با افزایش دسترسی به آب است و شاخص‌های پوشش گیاهی از داده‌های تصاویر ماهواره‌ای می‌تواند رشد پوشش گیاهی را به خوبی توصیف کنند و درنتیجه می‌توانند روند استفاده از آب را نیز توضیح دهند. این اساس برآورد  $ET_a$  با محاسبه ضرایب محصول (kc) از شاخص‌های پوشش گیاهی است.

در این پژوهش به تجزیه و تحلیل  $ET_a$  روزانه و مقدار NDVI در کل محدوده موردمطالعه پرداخته شد شکل(۷). این مقایسه همبستگی بالایی بین برآورد  $ET_a$  و NDVI گزارش داد به طوری که میزان همبستگی صورت گرفته از تصاویر MODIS  $R^2=0.92$ ، Landsat-5  $R^2=0.66$  و Landsat-7  $R^2=0.27$  نشان داد. رابطه خطی بین  $ET_a$  و NDVI در تمام انواع کاربری اراضی نشان دهنده



شکل ۷- ارتباط NDVI و  $ET$  (mm/day) در سه سنجده استفاده شده در طول دوره موردمطالعه

آب موردنیاز برای تبخیر-تعرق در هر نوع کشت و با هر کاربری اراضی آگاه شد و از این طریق دیدگاه‌های مدیریتی حاکم بر منابع آب هر دشت را هدفمند نمود و نهایتاً گامی مؤثر به سوی اصلاح الگوی مصرف و مدیریت پایدار آب در بخش‌های کشاورزی و منابع طبیعی آن دشت برداشته شود.

## منابع

ابراهیمی پاک، ن. ع. ۱۳۷۹. تعیین تبخیر-تعرق پتانسیل گیاه مرجع (چمن) به روش لایسیمتر و مقایسه با روش‌های تجربی در قزوین. وزارت جهاد کشاورزی، سازمان تحقیقات، آموزش و ترویج کشاورزی، مرکز تحقیقات کشاورزی و منابع طبیعی قزوین. هدایتی ذوفولی، ا. و کاکاوند، ر. ۱۳۹۱. پنهان‌بندی اقلیمی استان قزوین. نیوار. ۳۶-۷۷: ۵۹-۶۶.

Allen, R G., Tasumi, M., Trezza, R., Waters, R. and Bastiaanssen, W. 2002. Surface Energy Balance Algorithm for Land (SEBAL)—Advanced training and Users Manual. Kimberly: Idaho Implementation.

Allen, Richard G., Tasumi, M. and Trezza, R. 2007. Satellite-based energy balance for mapping evapotranspiration with internalized calibration (METRIC)—Model. Journal of Irrigation and Drainage Engineering. 133(4): 380-394.

Almhab, A. A. and Busu, I. 2008. Estimation of Evapotranspiration with Modified SEBAL model using landsat-TM and NOAA-AVHRR images in arid mountains area. 2008 Second Asia International

PYSEBAL در این پژوهش علاوه بر مدل SEBAL استفاده شد که از رویکرد بیلان انرژی به جای وابستگی به ضرایب محصول و شاخص‌های پوشش گیاهی استفاده می‌کند بنابراین پاسخ مورد انتظار  $ET_a$  به رشد پوشش گیاهی همان‌طور که توسط NDVI نشان داده شده است تضمین و دقت بالای نقشه‌های  $ET_a$  روزانه توسعه یافته را نشان می‌دهد.

## نتیجه‌گیری

برآورد دقیق تبخیر-تعرق اهمیت قابل توجهی در تخمین نیاز آبی گیاه در مرحله طراحی پروژه‌های آبیاری و تعیین وسعت قابل کشت، انتخاب الگوی کشت و تقویم آبیاری دارد. در این تحقیق حاضر سعی شد تا با استفاده از تصاویر سنجنده‌های MODIS و TM و ETM و ET و سنجنده دو الگوریتم بیلان انرژی سطحی بهترین مدل و سنجنده اجرایی دو الگوریتم فرآیندهای محاسبه تبخیر-تعرق که با صرف بهمنظور کاهش انجام فرآیندهای محاسبه تبخیر-تعرق که با هزینه و زمان زیادی همراه خواهد بود، انتخاب شود. بررسی‌های انجام‌شده نشان داد که استفاده از الگوریتم PYSEBAL توسط سنجنده MODIS، مناسب برآورد تبخیر-تعرق در مقیاس منطقه‌ای است و توانسته است نتایج رضایت‌بخشی را ارائه کند. استفاده از الگوریتم PYSEBAL در مناطق ناهموار و کوهستانی دشت قزوین که دارای اقلیمی سرد و نیمه‌خشک است می‌توان نتیجه گرفت که روش مذکور جهت برآورد تبخیر-تعرق واقعی در این منطقه مناسب است و می‌تواند مقادیر تبخیر-تعرق را به خوبی برآورد کند. این کار ضمن به روزرسانی اطلاعات قدیمی، فرصتی فراهم می‌آورد تا از میزان

- W., Faouzi, M., Mohamed, Y. and ErRaji, A. 2017. pySEBAL Version 3.3. 7.
- Hunsaker, D.J., Pinter, P.J., Barnes, E.M. and Kimball, B.A., 2003. Estimating cotton evapotranspiration crop coefficients with a multispectral vegetation index. *Irrigation Science*. (22): 95–104.
- Jaafar, H. H. and Ahmad, F. A. 2020. Time series trends of Landsat-based ET using automated calibration in METRIC and SEBAL: The Bekaa Valley, Lebanon. *Remote Sensing of Environment*. (238): 111034.
- Kamble, B., Irmak, A., Hubbard, K. and Gowda, P., 2013. Irrigation Scheduling Using Remote Sensing Data Assimilation Approach. 258–268
- Nyolei, D., Nsaali, M., Minaya, V., van Griensven, A., Mbilinyi, B., Diels, J., Hessels, T. and Kahimba, F. 2019. High resolution mapping of agricultural water productivity using SEBAL in a cultivated African catchment, Tanzania. *Physics and Chemistry of the Earth, Parts A/B/C*. (112): 36–49.
- Sawadogo, A., Gundogdu, K. S., Traoré, F., Kouadio, L. and Hessels, T. 2020. estimating i-season actual evapotranspiration over a large-scale irrigation scheme in resource-limited condition. *Comptes Rendus de l'Académie Bulgare Des Sciences*. 73(10).
- Sawadogo, A., Hessels, T. İ. M., Gündoğdu, K. S., Demir, A. O., Mustafa, Ü. and Zwart, S. J. 2020. comparative analysis of the PYSEBAL model and lysimeter for estimating actual evapotranspiration of soybean crop in Adana, Turkey. *International Journal of Engineering and Geosciences*. 5(2): 60–65.
- Sun, Z., Wei, B., Su, W., Shen, W., Wang, C., You, D. and Liu, Z. 2011. Evapotranspiration estimation based on the SEBAL model in the Nansi Lake Wetland of China. *Mathematical and Computer Modelling*. 54(3–4): 1086–1092.
- Zhang, K., Kimball, J. S. and Running, S. W. 2016. A review of remote sensing based actual evapotranspiration estimation. *Wiley Interdisciplinary Reviews: Water*. 3(6): 834–853.
- Conference on Modelling & Simulation (AMS). 350–355.
- Bala, A., Rawat, K. S., Misra, A. K. and Srivastava, A. 2016. Assessment and validation of evapotranspiration using SEBAL algorithm and Lysimeter data of IARI agricultural farm, India. *Geocarto International*. 31(7): 739–764.
- Bastiaanssen, Wilhelmus Gerardus Maria. 1995. Regionalization of surface flux densities and moisture indicators in composite terrain: A remote sensing approach under clear skies in Mediterranean climates. Wageningen University and Research.
- Bastiaanssen, Wim G M, Menenti, M., Feddes, R. A. and Holtslag, A. A. M. 1998. A remote sensing surface energy balance algorithm for land (SEBAL). 1. Formulation. *Journal of Hydrology*. (212):198–212.
- Caiserman, A. and Faour, G. 2021. Spatial variability of evapotranspiration and pressure on groundwater resources: remote sensing monitoring by crop type in the Bekaa plain, Lebanon. *Journal of Applied Remote Sensing*. 15(1): 14517.
- Carlson, T. N., Capehart, W. J. and Gillies, R. R. 1995. A new look at the simplified method for remote sensing of daily evapotranspiration. *Remote Sensing of Environment*. 54(2): 161–167.
- Chang, X., Wang, S., Gao, Z., Luo, Y. and Chen, H. 2019. Forecast of daily reference evapotranspiration using a modified daily Thornthwaite equation and temperature forecasts. *Irrigation and Drainage*. 68(2): 297–317.
- dos Santos, C. A. C., Mariano, D. A., Francisco das Chagas, A., Dantas, F. R. da C., de Oliveira, G., Silva, M. T., da Silva, L. L., da Silva, B. B., Bezerra, B. G., & Safa, B. 2020. Spatio-temporal patterns of energy exchange and evapotranspiration during an intense drought for drylands in Brazil. *International Journal of Applied Earth Observation and Geoinformation*. (85): 101982.
- Elnmer, A., Khadr, M., Kanae, S. and Tawfik, A. 2019. Mapping daily and seasonally evapotranspiration using remote sensing techniques over the Nile delta. *Agricultural Water Management*. (213): 682–692.
- Glenn, E.P., Neale, C.M.U., Hunsaker, D.J. and Nagler, P.L., 2011. Vegetation index-based crop coefficients to estimate evapotranspiration by remote sensing in agricultural and natural ecosystems. *Hydrol. Process.* (25): 4050–4062.
- Guo, Y., Zhao, X., Zhao, F., Jiao, Z., Zhou, X. and Yu, G. 2020. Tailoring surface wetting states for ultrafast solar-driven water evaporation. *Energy & Environmental Science*. 13(7): 2087–2095.
- Hessels, T., van Opstal, J., Trambauer, P., Bastiaanssen,

## Estimation of Actual Evapotranspiration Based on the Latest Modified Version of the Surface Energy Balance Algorithm Using Lysimeter Data

M. S. Fakhar<sup>1</sup>, A. Kaviani<sup>2\*</sup>

Received: Oct.22, 2021

Accepted: Nov.28, 2021

### Abstract

Conventional methods use point measurements for estimating evapotranspiration; however, in remote sensing techniques, such as Surface Energy Balance Algorithm, the instantaneous evapotranspiration flux during satellite transit is calculated as the remainder of the equation in the form of energy balance for each pixel. In this study, two standard mono-source evapotranspiration models were estimated from SEBAL and PYSEBAL and were compared with the results of a drainage lysimeter planted with grass in the Qazvin plain. Satellite data were based on the data from three sensors, MODIS, LANDSAT-5-TM, and LANDSAT-7-ETM, from 2000 to 2003. The results of this study showed that the PYSEBAL model in all three sensors with RMSE (0.45, 0.46, and 2.02 mm/day) respectively had better performance than the SEBAL model. Also, the studies performed from the three sensors showed that the MODIS sensor with standard error value (0.15 mm / day) and correlation coefficient (0.98) compared to the two ETM and TM sensors with correlation coefficient values (0.97 and 0.53), standard error (0.17 and 2.26 mm/day) as well as higher spatial resolution have been able to produce better results.

**Keywords:** Landsat-5, Landsat-7, MODIS, PYSEBAL, Qazvin plain

1- M.Sc. graduated, Department of Water Sciences and Engineering, Faculty of Agricultural and Natural Resources, Imam Khomeini International University, Qazvin, Iran

2- Associate professor, Department of Water Sciences and Engineering, Imam Khomeini International University, Qazvin, Qazvin, Iran

(\*- Corresponding Author Email: kaviani@eng.ikiu.ac.ir)